

Литературный обзор по теме «Разработка алгоритмов
обучения без учителя для графовых структур данных»

Андреева Полина

Содержание

1 Введение

Графовое представление данных это естественный, понятный человеку с одной стороны, и удобный, подходящий для машинной обработки с другой, способ визуализации данных из различных областей: от генетики до банковского дела. И хотя большинство самых распространенных архитектур нейронных сетей (например CNN, RNN) ориентировано на векторные структуры, в последнее время появились новые подходы глубокого обучения для представления и моделирования графово-структурированных данных.

Большинство успехов в глубоком обучении достигнуто с применением одной из двух парадигм - обучения с учителем (контролируемое обучение) или обучение с подкреплением. В первом случае модель делает предположение, а результат сравнивается с истинным значением, после чего производится обратное распространение ошибки. Во втором подходе, агент взаимодействует со средой. Он делает действие, а среда подает сигналы подкрепления, поэтому такое обучение является частным случаем обучения с учителем, но учителем является среда или её модель. Но в обоих случаях пределы обучения определяются людьми, внешними надзирателями. Для истинного интеллекта необходимы более независимые стратегии обучения. В связи с чем возникает еще одна парадигма - неконтролируемое обучение, когда агент обучается с целью обучиться (например, младенцы изучают мир из любопытства, через наблюдение, без подсказок). Более того, углубляясь в понимание работы человеческого интеллекта, можно заметить, что во взрослом жизни, люди не обучаются постоянно с нуля, а приспосабливаются к текущей ситуации, используя имеющиеся навыки и знания. По аналогии с чем в глубоком обучении придумана следующая парадигма, развивающая работу искусственного интеллекта - обучение с переносом. С точки зрения затраченных ресурсов, такой способ решения задач намного эффективней, так как не требует большого объема новых данных.

В данном обзоре сначала будет рассмотрен основной подход алгоритмов на графах. Затем - кратко расшифрованы основные обозначения, необходимые при описании методов, сформулирована задача, представлены наиболее часто используемые наборы данных и метрики проверки качества в экспериментах. В следующем параграфе описаны сами методы, разделенные на классы. В конце даны рекомендации по использованию конкретных методов на конкретных задачах.

2 Задачи на графах

Графы – структуры, состоящие из уникальных сущностей (узлов или вершин графа) и связей между ними (ребер графа), являются основной формой представления и хранения знаний и удобным инструментом для работы с большинством видов данных. Среди основных преимуществ графового представления данных это логическая строгость и масштабируемость на большие объемы информации. Последнее время было сделано много попыток расширить сверточные нейронные сети на графы. Проблема графовых структур данных в самом не-векторном представлении. В связи с чем, основным подходом в задачах на графах стало представление элементов графа в некотором высокоразмерном пространстве, в виде векторов, так называемых эмбедингов [2]. А далее такое представление в виде таблицы подается на вход классификатору. В таком виде задача решается как для любой другой обычной нейронной сети. Методы, использующие эмбединги, включают в себя Graph Neural Networks (GNNs) [2] и были применены к различных задачам относящимся к графикам.

Задачи на графах можно разделить на следующие наиболее общие группы:

- Предсказание связи между вершинами
- Классификация вершин
- Классификация ребер
- Классификация графов

Очень много существующих методов работают в режиме обучения без учителя – то есть, без привязки к решаемой задаче, получают векторное представление узла в графе. А качество таких эмбедингов проверяют на классических задачах, чаще всего - классификация вершин.

3 Необходимые обозначения и формулировка проблемы

Обозначения

Граф представляется в виде упорядоченной пары $G = (V, E)$, где $V = \{v_i\}$ – непустое множество вершин, а $E = \{e_{ij}\}$ – множество пар вершин, называемых ребрами (e_{ij} – это ребро между вершинами v_i и v_j). Порядок графа $|V|$ – число вершин в графе обозначается для краткости n . Аналогично, размер графа $|E|$ – число рёбер обозначим m . A – матрица смежности, где каждое число (a_{ij}) означает наличие ($a_{i,j} = 1$) или отсутствие ($a_{i,j} = 0$) ребра между вершинами v_i и v_j в случае не взвешенного графа и вес ребра в случае взвешенного. C – Матрица близости вершин в графе, в простом случае – то же что и матрица смежности. $W = \{w_{ij}\}$ – матрица весов в нейронной сети. Матрица X – матрица признаков вершин в графе. Каждая колонка X_i – это вектор признаков соответствующей вершины v_i . Размерность пространства признаков равна d . \mathcal{L} – функция потерь. Φ_i, Θ_i – векторы в низкоразмерном пространстве, т.н. эмбединги вершины v_i . Первый вектор означает представление вершины как исходной, а второе – представление вершины как контекстной для другой вершины. Вышеперечисленные обозначения собраны в таблице ??

Таблица 1: Необходимые обозначения

Обозначение	Расшифровка
$ V = n$	Количество вершин в графе
$ E = m$	Количество рёбер в графе
$A = \{a_{ij}\}$	Матрица смежности
C	матрица близости
$X = \{x_{ij}\}, i \in \{1, \dots, n\}, j \in \{1, \dots, d\}$	Матрица признаков вершин
d	Размерность признакового пространства
W	Матрица весов
\mathcal{L}	Функция потерь
Φ_i, Θ_i	Исходный и контекстный эмбединги вершины v_i

Формулировка проблемы

Контролируемое машинное обучение требует конструирования признаков для каждой задачи заново, что является трудоемкой проблемой. В связи с чем, важной стала задача построения эффективного и независимого от задач обучения признаков графа. Задача неконтролируемого обучения представлений графа подразумевает построение некоторой функции f , которая отображает каждую вершину графа v_i в вектор Φ_i в низкоразмерном пространстве (см. Рисунок 1) таким образом, чтобы эмбединги похожих вершин графа

лежали близко: $Similarity(v_i, v_j) \approx \Phi_i^T \Phi_j$. Перечисленные в данном обзоре методы различаются а) выбором меры схожести двух вершин - структурной, по признакам, или одновременно б) способом отображения / отображающей функцией f .

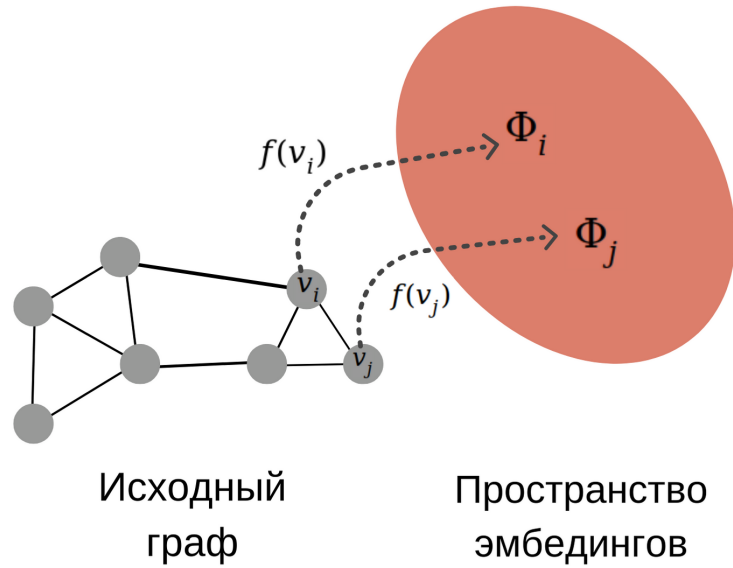


Рисунок 1

4 Наборы данных и метрики качества

Задачи

Качество построенных эмбедингов проверяется на последующих задачах. Чаще всего решаются задачи классификации вершин и предсказания рёбер между вершинами, реже - кластеризации вершин. Также встречаются случаи, когда авторы метода проверят качество, визуализируя получившиеся эмбединги или реконструируя граф и считая разницу с изначальным.

В данном разделе описаны наиболее популярные наборы данных и метрики для проверки качества методов, которые будут изложены в следующем разделе.

Наборы данных

Наборы данных по смыслу делятся на социальные сети, сети цитирования, сети смежных слов и тд, так что представим в данном разделе соответствующую классификацию. В таблице ?? представлена краткая справка по наиболее часто встречаемым наборам данных: размер, направленность, а описание методов представлено ниже:

1. Социальные сети: SN-Twitter, Flickr, YouTube, Reddit, Epinions, BlogCatalog.

Вершины представляют собой пользователей, а ребра - дружбу между ними. Некоторые сети имеют атрибуты узлов, как например у сети авторов BlogCatalog атрибуты - темы, на которые пишет данный автор. У сети YouTube, метки вершин представляют предпочтаемые жанры.

2. Сети цитирования: Cora, Citeseer, CoCit, DBLP, PubMed.

Каждая вершина представляет собой "мешок слов" статьи, а ребро между двумя вершинами - существование цитирования. Метка вершины - это сфера тематики данной статьи.

3. Сети со-авторств: Arxiv.

Вершины - авторы. Ребро между двумя вершинами существует, если авторы участвовали в написании одно статьи.

4. Сети слов: Wikipedia.

Вершины - слова. Если между двумя вершинами стоит ребро, значит эти два слова появляются в окне из 5 слов не менее 5 раз. Метки означают части речи.

5. Другое:

Zachary's karate network - известная и часто используемая для визуализации сеть университетского клуба карата.

PPI Protein-Protein Interaction. Каждый граф соответствует отдельной ткани человека. Вершины - протеины с набором атрибутов. Метка - роль белка с точки зрения его клеточных функций.

Таблица 2: Справка по наборам данных.

Категория	Название датасета	Характеристика	Размер
Социальная сеть	SN-Twitter	Направленный	$ V = 465K$ $ E = 834K$
	Flickr	Ненаправленный	$ V = 80K$ $ E = 5,90M$ $ L = 195$
	YouTube	Ненаправленный	$ V = 1,13M$ $ E = 2,99M$ $ L = 47$
	Reddit	Ненаправленный	$ V = 231K$ $ E = 11,6M$ $ L = 41$
	Epinion	Направленный	$ V = 75K$ $ E = 508K$
	BlogCatalog	Ненаправленный	$ V = 10K$ $ E = 33K$ $ L = 39$
Сеть цитирования	Cora	Направленный	$ V = 23K$ $ E = 91K$ $ L = 70$
	Citeseer	Направленный	$ V = 3K$ $ E = 4K$ $ L = 6$
	CoCit	Направленный	$ V = 44K$ $ E = 195K$ $ L = 15$
	DBLP-Ci	Направленный	$ V = 12.5K$ $ E = 49K$
	PubMed	Направленный	$ V = 19K$ $ E = 44K$ $ L = 3$
Сеть соавторовств	Arxiv GR-QC i	Ненаправленный	$ V = 5K$ $ E = 28K$
Сеть смежности слов	Wikipedia	Ненаправленный	$ V = 4K$ $ E = 184K$ $ L = 40$
Другое	Zachary's karate network	Ненаправленный	$ V = 34$ $ E = 78$ $ L = 4$
	PPI	Ненаправленный	$ V = 3K$ $ E = 38K$ $ L = 50$

Наиболее часто используемые **метрики** для проверки качества метода на конкретных задачах собраны в таблице ??:

Таблица 3: Метрики качества.

Метрика	Формула, описание	Для каких задач
Micro-F1 score ¹	$\frac{2 \cdot P \cdot R}{P + R}$	Классификация вершин
Macro-F1 score	$\frac{\sum_{l \in L} F1(l)}{ L }$, где $F1(l)$ – $F1$ - score для метки l	Классификация вершин
AUC (Area Under Curve)	Площадь под кривой ошибок (кри-вая в осах $TP/(TP + FN)$ к $FP/(TN+FP)$, где точки относятся к различным значениям порога от-сечения, при котором считается, что ребро существует)	Предсказание рёбер
Precision	$\frac{N^k \cap N(v)}{k}$, где N^k – k ближайших со-седей вершины судя по построен-ным эмбедингам, $N(v)$ – истинные соседи вершины v .	Реконструкция графа
NMI (Normalized Mutual Information)	$\frac{2 \cdot I(Y;C)}{H(Y) + H(C)}$, где Y – истинные мет-ки классов, C – метки кластериза-ции, $H(., .)$ – энтропия $I(., .)$ – взаим-ная инфоария	Кластеризация вершин

¹ Данная метрика считается глобально, подсчетом $TP = \text{true Positives}$, $FP = \text{False Postives}$, $FN = \text{False Negative}$ по всем меткам $l \in L$.

$$P = \frac{\sum_{l \in L} TP(l)}{\sum_{l \in L} (TP(l) + FP(l))}, R = \frac{\sum_{l \in L} TP(l)}{\sum_{l \in L} (TP(l) + FN(l))}$$

5 Классификация и описание методов

Разделение на классы, использованное в данном обзоре взято из [?] и добавлены дополнительные методы. Данная классификация разделяет методы по подходу отображения вершин графа в эмбединги: методы, основанные на а) факторизации, б) случайных блужданиях, в) глубоком обучении и г) другие.

В данном разделе кратко описаны идеи всех рассматриваемых методов, а в таблицах ??, ??, ??, ?? собрана короткая справка по методам: функции потерь, датасеты и метрики, использованные авторами метода для оценивания результатов и в последней колонке - другие методы, с которыми авторы рассматриваемого метода проводят сравнение.

5.1 Методы, основанные на факторизации

Методы, основанные на факторизации рассматривают матрицы, отражающие соединения между вершинами графа: матрица смежности, Лапласиан графа, матрицу вероятностей перехода между вершинами. Затем эта матрицы факторизуется для получения эмбедингов.

- Метод Laplacian Eigenmaps [?] стремясь сохранить два эмбединга ближе в случае, когда в графе между соответствующими вершинами больше вес (в случае взвешенного графа), минимизирует следующую функцию потерь:

$$\mathcal{L}(\Phi) = \frac{1}{2} \sum_{i,j} |\Phi_i - \Phi_j|^2 A_{i,j} = \text{tr}(\Phi^T L \Phi)$$

Решение этой задачи - это собственные вектора, соответствующие d наименьшим собственным числам нормализованного Лапласиана графа.

- Graph Factorization [?] для быстрого разложения матрицы смежности на собственные векторы, использует стохастический градиентный спуск для минимизации следующей функции потерь:

$$\mathcal{L}(\Phi, \lambda) = \frac{1}{2} \sum_{i,j} (A_{i,j} - \Phi_i \cdot \Phi_j)^2 + \frac{\lambda}{2} \sum_i \|\Phi_i\|^2$$

Преимущество - скорость.

- В методе HOPE [?] минимизируется $\|C - \Phi \cdot \Theta\|_F^2$. Для разных мер схожести (Katz Index, Rooted Page Rank, Common Neighbors, andAdamic-Adar score), C можно представить виде $C = M_g^{-1} M_l$, где обе матрицы M_g, M_l – разреженные. В связи с чем можно эффективно использовать разреженное обобщенное сингулярное разложение (SVD) для построения эмбедингов графа из матрицы C .

Таблица 4: Методы, основанные на факторизации.

Метод	Функция потерь	Метрики	Датасеты	Сравниваемые методы
Laplacian EigenMaps	$\frac{1}{2} \sum_{i,j} \Phi_i - \Phi_j ^2 A_{i,j}$ $= \text{tr}(\Phi^T L \Phi)$	—	300 most frequent words in the Brown Corpus	PCA
Graph Factorization	$\frac{1}{2} \sum_{i,j} (A_{i,j} - \Phi_i \cdot \Phi_j)^2$ $+ \frac{\lambda}{2} \sum_i \ \Phi_i\ ^2$	Average Test Error	Yahoo! Mail	—
HOPE	$\ C - \Phi \cdot \Theta\ _F^2$	RMSE, NRMSE, Precision, MAP	Cora, SN-Twitter, SN-TWeibo	LINE, DeepWalk, PPE (Partial Proximity Embedding), Common Neighbours, Adamic-Adar

5.2 Методы, основанные на случайных блужданиях

Коротко, все последующие методы можно описать тремя шагами: а) использовать некоторую функцию f , для представления вершин графа в низко-размерном пространстве в виде векторов. Например, Φ_i, Φ_j для вершин v_i, v_j , б) Определить функцию хожести двух вершин $\text{Similarity}(v_i, v_j)$ в) Оптимизировать параметры функции f из первого шага, таким образом, чтобы $\text{Similarity}(v_i, v_j) \approx \Phi_i^T \Phi_j$.

Собственно, методы основанные на RandomWalk считают в качестве данной меры схожести - вероятность появления этих двух вершин во время случайного блуждания.

Итак, сначала запускаются случайные блуждания, строится множество соседей для каждой вершины и затем минимизируется:

$$\mathcal{L} = \sum_{v_j \in V} \sum_{v_i \in N(v_j)} -\log(P(v_i | \Phi_j))$$

Таблица 5: Методы, основанные на случайных блужданиях.

Метод	Функция потерь	Метрики	Датасеты	Сравниваемые методы
DeepWalk	$-\sum_{i,j} c_{i,j} \log \frac{\exp(\Phi_i \cdot \Theta_j)}{\sum_{k \in V} \exp(\Phi_i \cdot \Theta_k)}$	Micro-F1, macro-F1	BlogCatalog, Flickr, YouTube	SpectralClustering, Modularity, EdgeCluster, wvRN
Node2Vec	$-\sum_{i,j} c_{i,j} \log \frac{\exp(\Phi_i \cdot \Theta_j)}{\sum_{k \in V} \exp(\Phi_i \cdot \Theta_k)}$	Macro-F1, AUC	BlogCatalog, PPI, Wikipedia(NC) Facebook, PPI, arXiv ASTRO- PH (LP)	Common Neighbours, Jaccard, Adamic Adar, Spectral Clustering, DeepWalk, LINE
Struc2Vec	$-\sum_{i,j} c_{i,j} \log \frac{\exp(\Phi_i \cdot \Theta_j)}{\sum_{k \in V} \exp(\Phi_i \cdot \Theta_k)}$	Average Accuracy	Brazilian, American, European airtraffic network	DeepWalk, Node2Vec
Seed	$\mathcal{L} = \ X - \hat{X}\ _2^2$	NMI, ACC (accuracy)	Deezer, MUTAG, NCI1, PROTEINS, COLLAB, IMDB	GraphSAGE, Graph Matching Network (GMN), Graph Isomorphism Network (GIN)
App	$-\sum_{i,j} c_{i,j} \log \frac{\exp(\Phi_i \cdot \Theta_j)}{\sum_{k \in V} \exp(\Phi_i \cdot \Theta_k)}$	AUC, Precision, Recall	Arxiv GR-QC, Cora, Epinion, Amazon	DeepWalk, LINE, Node2Vec, Jaccard, Adamic Adar, Common Neighbours

- DeepWalk [13] использует случайные блуждания фиксированной длины.
- Node2vec [15] в отличие от DeepWalk исследует и локальную и глобальную структуру графа и с помощью двух гиперпараметров может учитывать влияние каждой из сторон: один гиперпараметр отвечает за вероятность агента во время случайных блужданий вернуться на шаг назад, т.е. за учет локальной структуры графа,

а другой гиперпараметр, отвечает за вероятность агента сделать шаг в сторону от вершины, с которой началось блуждание, таким образом, учитывая глобальную структуру графа.

- Struc2vec [?] рассчитывает близость вершин как схожих структурно, а не расположенных близко друг от друга. Для этого строится новый граф, основываясь именно на структурной схожести вершин прежнего графа, а затем строятся эмбединги по новому графу, опираясь на DeepWalk
- SEED [?] ориентирован на построения эмбедингов графов, а не вершин. Обучает автоэнкодер на случайных блужданиях типа WEAVE (каждый подграф представляется в виде матрицы X , где каждый столбец p представляет одну вершину в виде конкатенации атрибуата этой вершины и наиболее раннего визита в ходе p -го блуждания). Обучение автоэнкодера происходит минимизируя ошибку реконструкции \hat{X} :

$$\mathcal{L} = \|X - \hat{X}\|_2^2$$

На последнем шаге усредняются представления подграфов, или, если обобщать, то отображаются полученные представления Φ в некоторое новое пространство и усредняют полученные представления:

$$\hat{\mu}_G = \frac{1}{s} \sum_{i=1}^s \phi(\Phi_i)$$

- APP [?] - сохраняет несимметричность, таким образом, что приписывает каждой вершине две роли - исходную и целевую (Φ_i, Θ_i). Используя метод сэмплирования Монте-Карло End-Point, рандомно выбираются пути, начинающиеся в одной вершине с вероятностью остановки α и заканчивающиеся в другой. По аналогии с DeepWalk, Node2Vec, каждый путь рассматривается как направленная последовательность, но в которой пары вершин рассматриваются только по прямому направлению. Таким образом и учитывается несимметричность. Затем оптимизируется следующая функция потерь, учитываящая Negative Sampling:

$$\mathcal{L} = \sum_j \sum_i \#Sampled_j(i) \cdot (\log \sigma(\Phi_j \cdot \Theta_i) + k \cdot E_{t_n \sim P_D} [\log \sigma(-\Phi_j \cdot \Theta_n)])$$

где $\#Sampled_j(i)$ – количество путей (j, i)

- TransE [?] приспособлен для графов знаний, у которых ребра также могут быть разных типов. Частая задача на таких графах - предсказание пропущенных связей. В TransE отношения между сущностями представлены в виде триплета:

$$h(\text{head entity}), l(\text{relation}), t(\text{tail entity}) \rightarrow (h, l, t)$$

Затем, сущности переводятся одним из вышеперечисленных методов в пространство эмбедингов.

Далее отношения предсталяются как переносы (translations):

$$(h + l) \approx t, \text{ данный факт - правда}$$

$$(h + l) \neq t, \text{ иначе}$$

И в конце происходит оптимизация на основе Negative Sampling.

Преимуществом данных методов являются: а) вычислительная эффективность, так как они не требуют рассмотрения абсолютно всех пар вершин, а только те, что появляются в одном случайному блуждании; б) возможность учитывают как локальную так и глобальную структуру графа.

5.3 Методы, основанные на глубоком обучении

Общая идея данных методов - агрегировать информацию от соседних вершин и передавать на следующий слой, выстраивая таким образом полноценную нейронную сеть. (см. Рисунок 2)

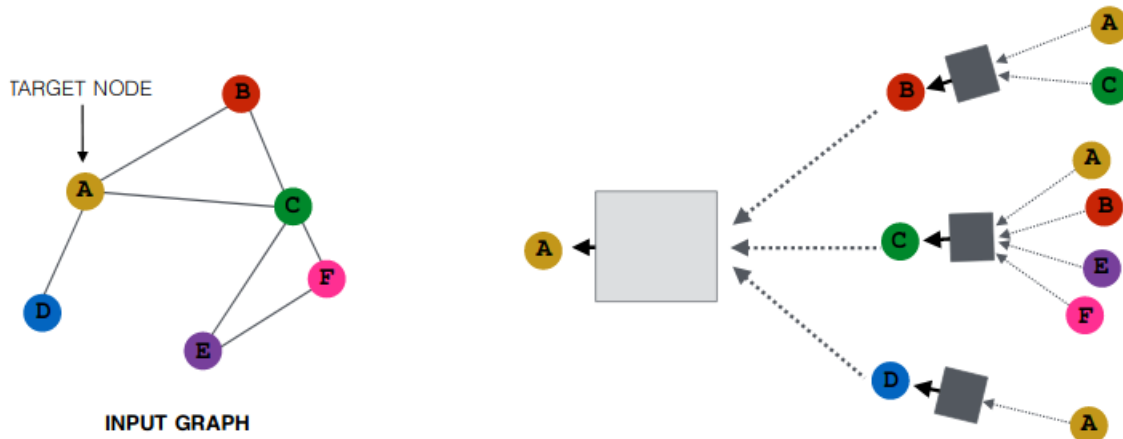


Рисунок 2

- GCN [?] - на каждом новом слое строится представление вершины путем агрегирования информации от соседей на прошлом слое и суммируется с представлением самой вершины на прошлом слое. Веса тренируются с помощью SGD:

$$\begin{aligned}\mathbf{h}_v^0 &= \mathbf{x}_v \\ \mathbf{h}_v^k &= \sigma(\mathbf{W}_k \sum_{u \in N(v)} \frac{\mathbf{h}_u^{k-1}}{|N(v)|} + \mathbf{B}_k \mathbf{h}_v^{k-1}), \forall k \in \{1, \dots, K\} \\ \Phi_v &= \mathbf{h}_v^K\end{aligned}$$

Где \mathbf{h}_v^k – представление вершины v на k -ом слое.

- GraphSAGE [?] В отличие от предыдущего метода, может использовать разные варианты агрегирования информации от соседей кроме среднего значения, например, выбор максимального значения или применение LSTM. Кроме того, еще одно отличие от базового варианта это конкатенирование представления самой вершины с прошлого слоя к агрегированной информации от соседних вершин, вместо суммирования с ней. Преимущество над предыдущим методом - это обобщение:

$$\mathbf{h}_v^k = \sigma([\mathbf{W}_k \cdot AGG(\{\mathbf{h}_u^{k-1}, \forall u \in N(v)\}), \mathbf{B}_k \mathbf{h}_v^{k-1}])$$

- GAN [?] - Идея в том, что соседи оказывают разное влияние на данную вершину и необходимо это учесть:

$$\mathbf{h}_v^k = \sigma(\sum_{u \in N(v)} \alpha_{vu} \mathbf{W}_k \mathbf{h}_u^{k-1})$$

- SDNE [?] с помощью матрицы смежности учитывает схожесть 1 порядка, а состоит из двух шагов: 1) Неконтролируемая часть, данный автоэнкодер отвечает за построение эмбедингов, учитывая близость 2 порядка. 2) Контролируемая часть, строится такая функция потерь, чтобы накладывать штрафы, когда похожие вершины в пространстве эмбедингов находятся далеко друг от друга, т.е. учитывать близость вершин 1 порядка. Общая функция потерь выглядит следующим образом:

$$\begin{aligned}\mathcal{L}_{mix} &= \mathcal{L}_{2nd} + \alpha \mathcal{L}_{1st} = \\ &= \sum_i \|c_i - g(\Phi_i) \odot B\|_F^2 + \alpha \sum_{i,j=1}^n c_{i,j} \|\Phi_i - \Phi_j\|_2^2\end{aligned}$$

где \odot – произведение Адамара, B – матрицы смещений (biases). g – декодер.

Таблица 6: Методы, основанные на глубоком обучении.

Метод	Функция потерь	Метрики	Датасеты	Сравниваемые методы
GCN	? - $\mathbf{y} \cdot \log(\hat{\mathbf{y}})^2$	Accuracy	Citeseer, Cora, Pubmed, NELL	Label propagation (LP), SemiEmb, ManiReg, ICA, Planetoid
GraphSAGE	$-\sum_{i,j} c_{i,j} \log \frac{\exp(\Phi_i \cdot \Phi_j)}{\sum_{k \in V} \exp(\Phi_i \cdot \Phi_k)}$	Micro averaged F1	Web OF Science citation database, PPI, Reddit posts	Logistic regression feature-based classifier, DeepWalk, concatenation of the raw features and DeepWalk embeddings.
GAN	$-\mathbf{y} \cdot \log(\hat{\mathbf{y}})$	mean classification accuracy, micro-averaged	PPI, cora, citeseer, Pubmed	MLP, ManiReg, SemiEmb, LP, DeepWalk, ICA, Planetoid, Chebyshev, GCN, MoNet
SDNE	$\sum_i \ c_i - g(\Phi_i)\) \odot B\ _F^2 + \alpha \sum_{i,j=1}^n c_{i,j} \ \Phi_i - \Phi_j\ _2^2$	Precision, Mean Average Precision (MAP), micro-F1, macro-F1, KL-divergence	BlogCatalog, Flickr, Youtube, Arxiv QC, 20-NEWSGROUP4	DeepWalk, LINE, GraRep, LAplacian Eigenmaps, Common Neighbors

² \mathbf{y} - истинный вектор предсказания меток, $\hat{\mathbf{y}}$ предсказанный вектор меток

5.4 Другие методы

- Авторы статьи [?] показывают, что каждая из четырех моделей: DeepWalk, LINE, PTE, Node2vec, выполняют неявную матричную факторизацию. Для каждой модели выведены матричные формы. И предлагаемый алгоритм NetMF аппроксимирует замкнутую форму неявной матрицы DeepWalk.
- VERSE [?] так же использует понятия схожести между вершинами и минимизируют расхождение Кульбака - Лейблера (KL) между распределением схожести вершин в графе sim_G и распределением схожести эмбедингов sim_E :

$$\sum_{v \in V} KL(sim_G(v, \cdot) || sim_E(v, \cdot))$$

Для оптимизации используется Noise Contrastive Estimation (NCE): алгоритм строит классификатор, который разделяет вершины из нужного нам распределения и распределения шума.

Также как и HOPE использует различные меры схожести (PPR, SimRank, Adjacency similarity). В отличие от HOPE использует нелинейные преобразования и требует на вход не обязательно весь график из-за чего может быть использован на больших графах.

- LINE [14] Явно задает две функции, отвечающие за близость 1 и 2 порядка, а затем минимизирует функцию - комбинацию из двух. Так же, как и в VERSE, задаются два распределения вероятностей, одно - используя матрицу смежности, другое - для эмбедингов. Например для случая близости 1 порядка:

$$p_1(v_i, v_j) = \frac{1}{1 + \exp(-\Phi_i \cdot \Phi_j >)}$$

$$\hat{p}_1(v_i, v_j) = \frac{W_{ij}}{\sum_{(i,j) \in E} W_{ij}}$$

А затем минимизируют расхождение Кульбака - Лейблера (KL) между распределениями:

$$\mathcal{L} = KL(\hat{p}_1, p_1) = - \sum_{(i,j) \in E} W_{ij} \log p_1(v_i, v_j)$$

- ARCTE [?] использует алгоритмы personalized PageRank для поиска локальных сообществ вокруг каждого пользователя в графике. Для этого строится вектор k , где

каждое значение соответствует близости от каждой вершины графа к данной, а затем усекается, беря во внимание только самые близкие. Подсчет вектора k начинается с инициализации нулем и происходит случайными блужданиями с перезапуском, итеративно обновляясь:

$$k_{pr}^{(t+1)} = k_{pr}^{(t)} + r^{(t)} I_u$$

$$r^{(t)} = \rho e_v - k_{pr}^{(t)} (I - (1 - \rho)P)$$

где $r^{(t)}$ называется вектором остаточных вероятностей на шаге времени t . ρ — вероятность перезапуска случайного блуждания, I_u — нулевая матрица с единственным ненулевым элементом на диагонали на u -ой строке. e_v — это распределение с вероятностью, сконцентрированной на вершине v . $P = D^{-1}A$ — матрица вероятностей перехода марковской цепи.

Вершина u входит в вектор k , если $r(u)/d(u) > \epsilon$, где ϵ — выбранный заранее порог.

Выводы:

- Традиционные методы построения эмбедингов (снованные на факторизации) используют плотные матрицы, которые характеризуют граф, из-за чего эффективны лишь на небольших графах, а так же учитывают схожесть только по расстоянию между вершинами, а не атрибутам.
- Методы, основанные на случайных блужданиях учитывают не только ближайших соседей, но и глобальную структуру графа. Работают быстрей, так как используют для вычислений не все пары вершин.
- Сверточные методы учитывают только локальную структуру, но зато более вычислительно эффективны и учитывают атрибуты вершин.
- Существует ряд методов (VERSE, LINE, HOPE), которые учитывают понятие мер схожести.

Таблица 7: Другие методы.

Метод	Функция потерь	Метрики	Датасеты	Сравниваемые методы
NetMF	$\ C - \Phi \cdot \Theta\ _F^2$	Micro-F1, Macro-F1	PPI, Wikipedia, Flickr, BlogCatalog	LINE, DeepWalk
VERSE	$-\sum_{i,j} c_{i,j} \log \frac{\exp(\Phi_i \cdot \Phi_j)}{\sum_{k \in V} \exp(\Phi_i \cdot \Phi_k)}$	Adamic-Adar, Preferential attachment, Katz, Jaccard coefficient, Macro-F1, Normalized Mutual Information (NMI)	BlogCatalog, CoCit, CoAuthor, VK, YouTube, Orkut	HOPE, GraRep, LINE, DeepWalk, Node2vec
LINE	$-\sum_{i,j} c_{i,j} \log \frac{1}{1+\exp(-\Phi_i \cdot \Phi_j)}$	Micro-F1, macro-F1	Flickr and Youtube wikipedia DBLP	Graph factorization (GF), DeepWalk
ARCTE		Micro-F1, macro-F1	SNOW2014 Graph ASU- Flickr ASU- YouTube Insight Resource Multiview (IRMV)	Laplacian Eigenmaps, Replicator Eigenmaps, RWModMax, DeepWalk, LINE, Louvain, EdgeCluster, MROC,BigClaim, OSLOM,BaseComm

6 Рекомендации по использованию методов

В работах [?] и [?] был проведен подробный сравнительный анализ рассматриваемых в данном обзоре методов.

Основные результаты следующие:

1. Методы, учитывающие роль вершины как источника и контекста при изучении представлений, рекомендуются для прогнозирования связей в ориентированных графах.
2. Простой классификатор, основанный на непосредственном соседстве, предлагает лучшую или сопоставимую производительность для ряда наборов данных.
3. Для задач предсказания связей на неориентированных графах методы на основе PPR (APP и VERSE) - являются наиболее эффективными методами во всех наборах данных.
4. В задачах предсказания связей, метод LINE, который непосредственно использует матрицу смежности в качестве матрицы близости, превосходит методы случайного буждания для неориентированных графов.
5. В задачах предсказания связей, для ориентированных графов с низкой взаимностью повторное представление контекста узла играет большую роль, и для задач предсказания направленных связей следует использовать методы кодирования и использования двух пространств внедрения для исходной и целевой контекстных представлений узлов.
6. В задачах предсказания связей более глубокие модели не имеют значительного преимущества перед поверхностными.
7. Для направленных графов, для задачи реконструкции графов HOPE предпочтается APP
8. Для задач классификации узлов, степень гомофилии графа должна быть подсчитана прежде чем выбирать подход. Подходы глубокого обучения, основанные на агрегации подходят для высокой степени гомофилии, а для низкой - DeepWalk.
9. Node2Vec более предпочтителен для классификации вершин, а для предсказания рёбер - методы, учитывающие разные степени схожести (HOPE,SDNE)

7 Заключение

Было рассмотрено множество различных методов, которые разделены на общие группы по подходу к обучению представления графов. Методы различаются также и учетом различной информации графов (локальная или глобальная структуры, схожесть по атрибутам вершин). Основным наиболее эффективным подходом остается построение эмбедингов на основе нейронных сверточных сетей, хотя и другие методы показывают преимущества на конкретных задачах. При решении задач и выборе метода, необходимо учитывать структурные свойства графов, размер графа, тип задач.

Также был сделан акцент на экспериментальную часть всех методов и основная информация по наиболее часто использованным датасетам и метрикам собрана в таблицах ??, ??

Основное будущее развитие всех методов это масштабирование на большие графы, а также улучшения методов, направленные на улучшение качества и скорости работы алгоритмов.

Список используемых источников

- [1] Z. Wu, S. Pan, F. Chen, G. Long, C. Zhang, S. Yu Philip. 2019. A comprehensive survey on graph neural networks. arXiv:1901.00596.
- [2] P. Goyal and E. Ferrara, “Graph embedding techniques, applications, and performance: A survey,” Knowledge-Based Syst., vol. 151, 2018, doi: 10.1016/j.knosys.2018.03.022.
- [3] Mikhail Belkin and Partha Niyogi. 2001. Laplacian eigenmaps and spectral techniques for embedding and clustering. In NIPS. 585–591
- [4] Sam T Roweis and Lawrence K Saul. 2000. Nonlinear dimensionality reduction by locally linear embedding. science 290, 5500 (2000), 2323–2326.
- [5] Joshua B Tenenbaum, Vin De Silva, and John C Langford. 2000. A global geometric framework for nonlinear dimensionality reduction. science 290, 5500 (2000), 2319– 2323
- [6] Shuicheng Yan, Dong Xu, Benyu Zhang, Hong-Jiang Zhang, Qiang Yang, and Stephen Lin. 2007. Graph embedding and extensions: A general framework for dimensionality reduction. TPAMI 29, 1 (2007)
- [7] Amr Ahmed, Nino Shervashidze, Shravan Narayananmurthy, Vanja Josifovski, and Alexander J Smola. 2013. Distributed large-scale natural graph factorization. In WWW. ACM, 37–48.
- [8] Mingdong Ou, Peng Cui, Jian Pei, Ziwei Zhang, and Wenwu Zhu. 2016. Asymmetric transitivity preserving graph embedding. In KDD. 1105–1114
- [9] A. Tsitsulin, D. Mottin, P. Karras, and E. Müller, “VERSE: Versatile graph embeddings from similarity measures,” Web Conf. 2018 - Proc. World Wide Web Conf. WWW 2018, pp. 539–548, 2018, doi: 10.1145/3178876.3186120.
- [10] G. Rizos, S. Papadopoulos, and Y. Kompatsiaris, Multilabel user classification using the community structure of online networks, vol. 12, no. 3. 2017.
- [11] B. Perozzi, R. Al-Rfou, and S. Skiena, “Deepwalk: online learning of social representations,” in KDD, 2014, pp. 701–710.
- [12] Tomas Mikolov, Ilya Sutskever, Kai Chen, Gregory S. Corrado, and Jeffrey Dean. 2013. Distributed Representations of Words and Phrases and their Compositionality. In NIPS. 3111–3119
- [13] Shaosheng Cao, Wei Lu, and Qiongkai Xu. 2015. GraRep: Learning Graph Representations with Global Structural Information. In CIKM. 891–900

- [14] Leonardo FR Ribeiro, Pedro HP Saverese, and Daniel R Figueiredo. 2017. struc2vec: Learning node representations from structural identity. In KDD. ACM, 385–394
- [15] J. Tang, M. Qu, M. Wang, M. Zhang, J. Yan, and Q. Mei, “LINE: large-scale information network embedding,” in WWW, 2015, pp. 1067–1077.
- [16] A. Grover and J. Leskovec, “node2vec: Scalable feature learning for networks,” in KDD, 2016, pp. 855–864.
- [17] L. Wang et al., “INDUCTIVE AND UNSUPERVISED REPRESENTATION LEARNING ON GRAPH STRUCTURED OBJECTS,” 2016.
- [18] A. Bordes, N. Usunier, A. Garcia-dur, J. Weston, and O. Yakhnenko, “Translating Embeddings for Modeling Multi-relational Data,” pp. 1–9.
- [19] W. L. Hamilton, R. Ying, and J. Leskovec, “Inductive representation learning on large graphs,” Adv. Neural Inf. Process. Syst., vol. 2017-Decem, no. Nips, pp. 1025–1035, 2017.
- [20] P. Velickovic, A. Casanova, P. Liò, G. Cucurull, A. Romero, and Y. Bengio, “Graph attention networks,” 6th Int. Conf. Learn. Represent. ICLR 2018 - Conf. Track Proc., pp. 1–12, 2018.
- [21] D. Wang, P. Cui, W. Zhu, Structural deep network embedding, in: Proceedings of the 22nd International Conference on Knowledge Discoveryand Data Mining, ACM, 2016, pp. 1225–1234.
- [22] M. Khosla, V. Setty, and A. Anand, “A Comparative Study for Unsupervised Network Representation Learning,” IEEE Trans. Knowl. Data Eng., pp. 1–1, 2019, doi: 10.1109/tkde.2019.2951398.
- [23] C. Zhou, Y. Liu, X. Liu, Z. Liu, and J. Gao. Scalable graph embedding for asymmetric proximity. In AAAI, pages 2942–2948, 2017.
- [24] D. Wang, P. Cui, and W. Zhu. Structural deep network embedding. In SIGKDD, pages 1225–1234. ACM, 2016.
- [25] J. Qiu, Y. Dong, H. Ma, J. Li, K. Wang, and J. Tang. Network embedding as matrix factorization: Unifying deepwalk, line, pte, and node2vec. In WSDM, pages 459–467, 2018. 21. 56.
- [26] Thomas N. Kipf and Max Welling. Semi-supervised classification with graph convolutional networks. CoRR, abs/1609.02907, 2016. URL <http://arxiv.org/abs/1609.02907>.